# CORSO INTEGRATO DI GENETICA

a.a.2011-2012

Prof. Pier Franco Pignatti

1.12.2011

Lezioni N.47-48

# Mutagenesi e malattie da difetto di riparazione

Neri-Genuardi cap. 10

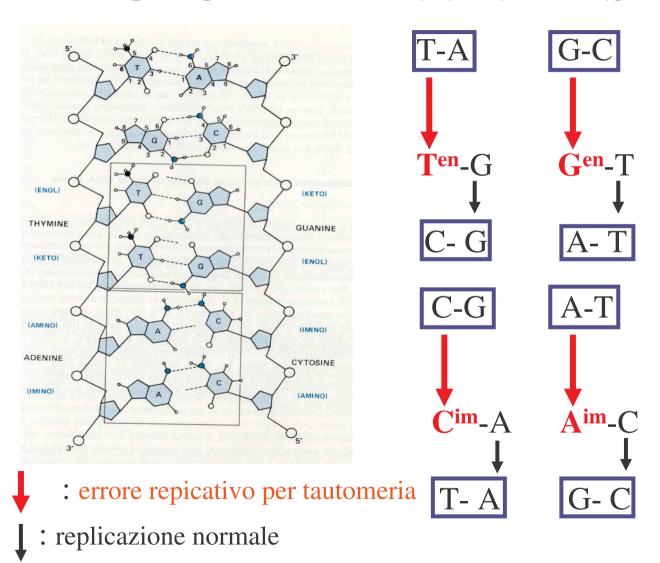
Xeroderma pigmentoso, Atassia teleang., Anemia di Fanconi, S. Bloom, S. Lynch

# **MUTAZIONI SPONTANEE**

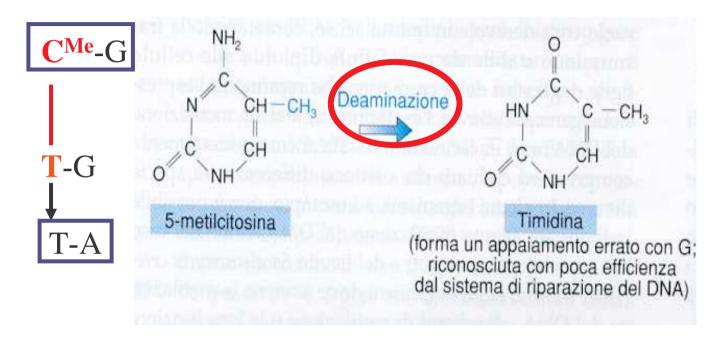
Avvengono durante la vita normale della cellula, cioè in individui non esposti a mutageni o radiazioni. Costituiscono il materiale usato dalla selezione naturale per l'evoluzione biologica.

Cause possibili: tautomeria, deaminazione, depurinazione delle basi; radicali liberi; errori replicativi, riparativi o ricombinativi

# TAUTOMERIA delle BASI

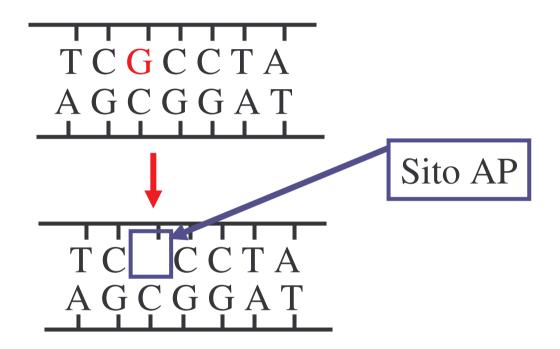


# **DEAMINAZIONE**



Le transizioni C/T rappresentano il 35-50% di tutte le mutazioni puntiformi nell'uomo. Il dinucleotide CpG muta per deaminazione 8,5 volte più dell'atteso: 5<sup>Me</sup>C è "hot spot" di mutazione (anche C viene deaminata a U, ma il DNA può essere riparato)

# **DEPURINAZIONE**



In condizioni fisiologiche, sono perdute giornalmente circa 5.000 purine per genoma di mammifero per rottura del legame beta-glicosidico

# **MUTAZIONI INDOTTE**

### Mutageni fisici

Radiazioni ionizzanti (raggi X, γ, cosmici, radioattività artificiale e naturale), radiazioni UV

### Mutageni chimici

Deaminanti, analoghi delle basi, alchilanti, intercalanti, prodotti di pirolisi, sostanze naturali, prodotti sintetici

## MUTAGENESI DA RAGGI X

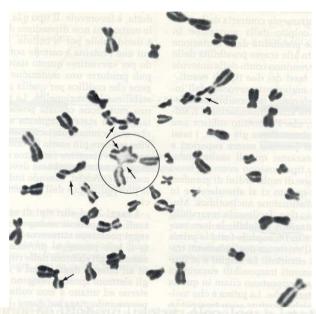


Fig. 11.16. Cromosomi umani in cui sono visibili le rotture generate (frecce) da 270 roentgen di raggi X. Il cerchio racchiude una struttura prodotta dallo scambio (con saldatura delle rotture) fra

due cromatidi; le frecce indicano la posizione delle rotture. In tessuti umani in coltura una dose di appena 20 r è sufficiente per produrre in media una rottura visibile per cellula.

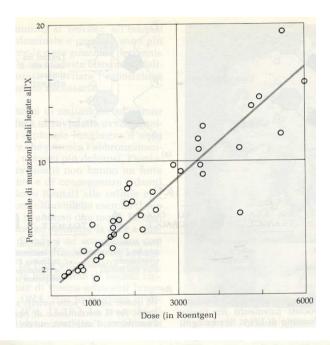


Fig. 11.17. Grafico che riassume gli studi sull'induzione di mutazioni letali nel cromosoma X di Drosophila da parte dei raggi X. Si noti che la maggioranza dei punti cade vicino alla linea ret-

ta; ciò indica che l'induzione delle mutazioni letali è proporzionale alla dose di raggi X, almeno nell'intervallo qui riportato.

(senza frazionamento di dose)

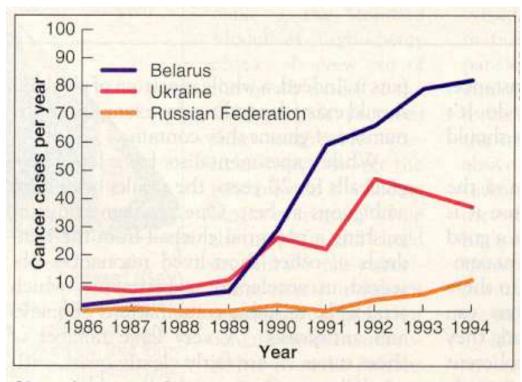
# ESPOSIZIONE PRENATALE alle ESPLOSIONI ATOMICHE

TABELLA 11.II. — Percentuale di bambini con ritardo mentale grave fra quelli che erano stati esposti prima della nascita alle esplosioni atomiche di Hiroshima o Nagasaki (dai dati della tabella 11.I, soluzione al problema 2 a).

Settimane di vita dal concepimento:		Dose di irradiazione (Gy)				
		0-0,01	0,01-0,09	0,10-0,49	0,50-0,99	> 1,0
0-7 8-15	% ritardati % ritardati	0,5 0,8	0,0 4,3	0,0	0,0 30,8	0,0 66,7
6-25   > 26	% ritardati % ritardati	0,6 1,3	1,2 0,0	0,0	13,3	20,0

8-15 settimane: divisione e migrazione delle cellule nervose nella corteccia cerebrale

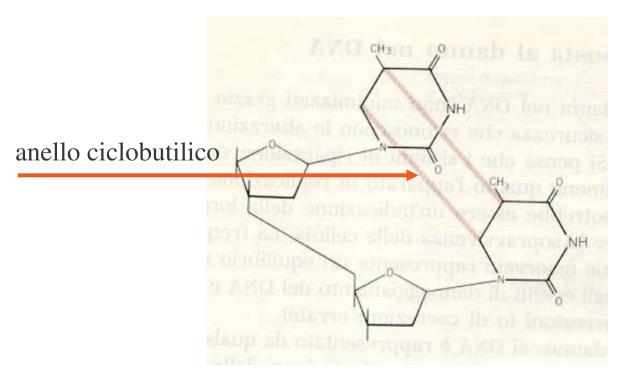
# EFFETTI DELL'INCIDENTE NUCLEARE di CHERNOBYL (Aprile 1986)



Sharp increase. Childhoood thyroid cancer is rising in the three republics most affected by Chernobyl.

SCIENCE • VOL. 270 • 15 DECEMBER 1995

## EFFETTI DELLE RADIAZIONI UV



Un dimero di Timina è prodotto dalla formazione di legami covalenti fra basi adiacenti

Lewin, Il gene IV, Zanichelli 1992

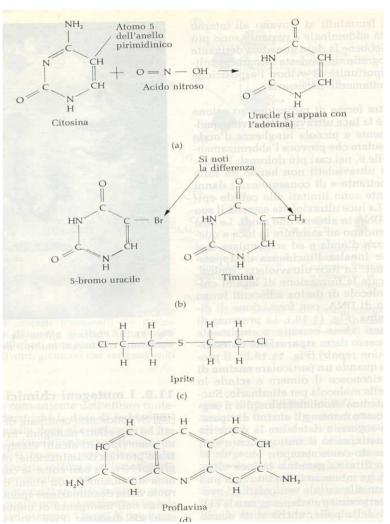
# Alcuni MUTAGENI CHIMICI

#### Deaminanti

Analoghi delle basi

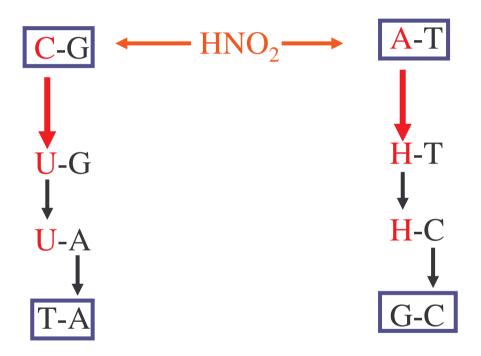
Alchilanti

Intercalanti



Hartl, Genetica Umana, Zanichelli 1996

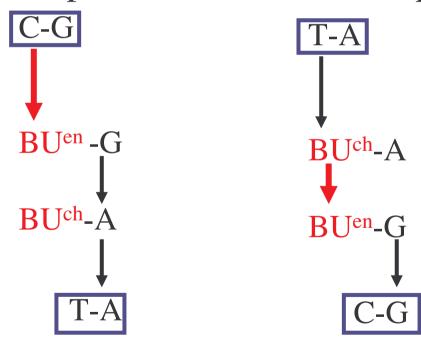
## **MUTAGENESI DA DEAMINANTI**



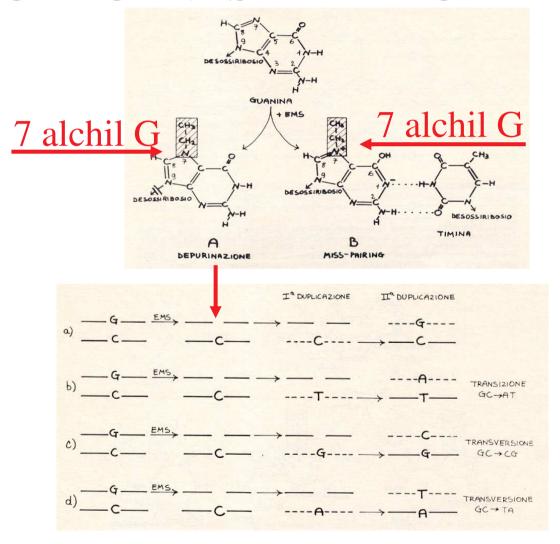
- ↓ Modificazione della base
- **↓** Replicazione

# MUTAGENESI DA ANALOGO DI BASE (BU)

Errore di incorporazione Errore di replicazione

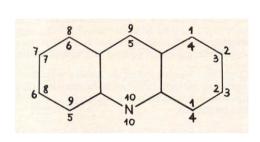


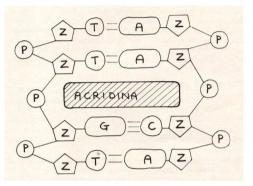
## **MUTAGENESI DA ALCHILANTI**



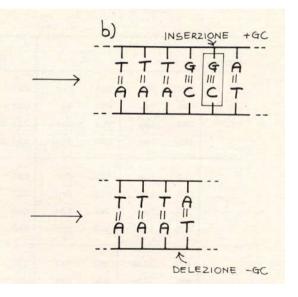
Magni, Quaderni di Biologia 11, Piccin 1976

## MUTAGENESI DA INTERCALANTI





La distorsione della doppia elica dovuta a inserzione di una molecola di acridina porta durante la replicazione a inserzione o delelezione di una singola coppia di basi



Magni, Quaderni di Biologia 11, Piccin 1976

# **MUTAGENI AMBIENTALI**

Sostanze naturali: es. aflatossina

Prodotti di pirolisi: es. cibi cotti, tabacco

Prodotti sintetici: es. additivi alimentari, cosmetici, tinture permanenti capelli, farmaci citostatici e immunodepressivi, insetticidi e fungicidi, erbicidi e fitormoni, casa (ipoclorito sodio), lavoro (cloruro vinile, diossina), atmosfera (formaldeide, fumo di sigaretta)

## IL COSTO UMANO DELL'USO DEL TABACCO

mission of

Table 1.	Deaths from Preventable Causes in
t	he United States in 1990.*
ES I	\$ 17 EN 11 EN

1500			
Cause	ESTIMATED NO. OF DEATHS†	PERCENTAGE OF TOTAL DEATHS	
Tobacco	400,000	19	
Dietary factors and activity patterns	300,000	AND ROL	
Alcohol	100,000	5	
Microbial agents	90,000	T TORT TORON	
Toxic agents	60,000	3	
Firearms	35,000	2	
High-risk sexual behavior	30,000	1	
Motor vehicle injuries	25,000	517412130	
Illicit use of drugs	20,000	<1	
Total	1,060,000	49	

NEJM 330:907, 1994

DISEASE	No. of Death:	
Cardiovascular diseases	179,820	
	210 119,920†	
Other cancers	SW15(31,402)	
Respiratory diseases	84,475	
ata were obtained from the Cente	ers for Disease Contr	

Più di 5 milioni di morti/anno: la prima causa di morte prematura prevenibile al mondo

Mathers CD Loncar D 2006

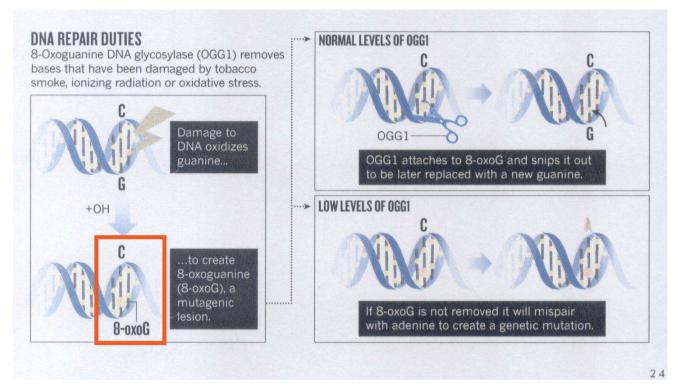
# Cancro del polmone

Il fumo di sigaretta è la causa del 90% dei Ca del polmone. E' carcinogeno per la presenza di più di 60 sostanze chimiche che legano e mutagenizzano il DNA. Si formano addotti ingombranti caratteristici alle basi puriniche, come 8-oxoG.

Dallo studio con Next Generation Sequencing (NGS) del genoma di linee cellulari derivate da un tumore polmonare a piccole cellule (SCLC) si deduce che si forma circa una nuova mutazione ogni 15 sigarette fumate

Pleasance ED et al, Nature 2010; Hecht SS, Nature 24.3.2011

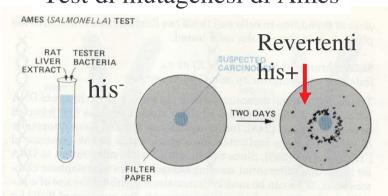
# Ca polmone: scarsa riparazione di 8-oxoG



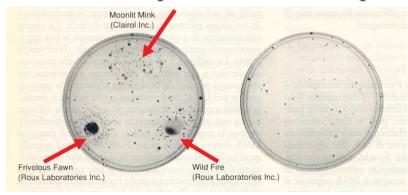
Il 40% dei pazienti con Ca polmonare hanno bassa attività OGG1. I fumatori con bassa attività enzimatica sviluppano Ca polmonare con frequenza 5-10x rispetto ai fumatori con attività normale

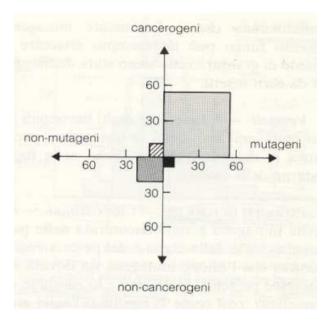
# MUTAGENI E CANCEROGENI

Test di mutagenesi di Ames

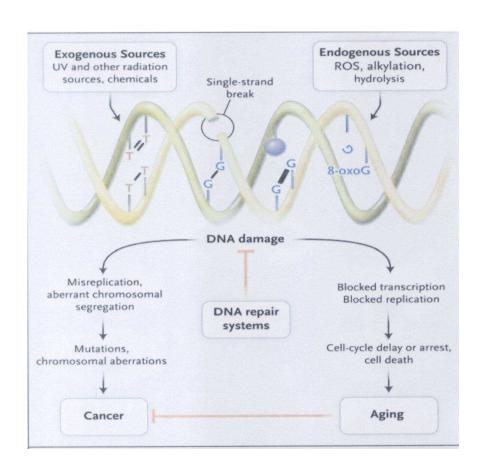


#### Test di Ames per tre tinture di capelli





# Cause e conseguenze del danno al DNA



Hoeijmakers JHJ, DNA Damage, Aging and Cancer, NEJM 2009

# RISPOSTA al DANNO del DNA

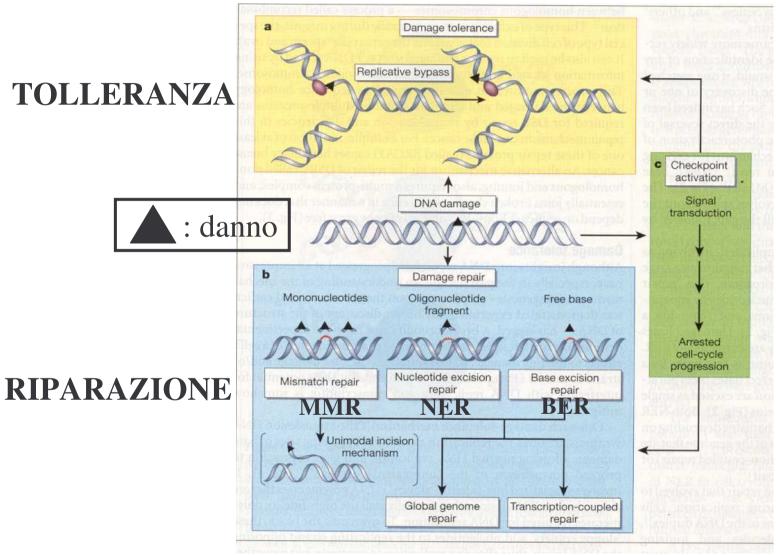
Rovesciamento del danno: fotoriattivazione, riparo di O<sup>6</sup>-alchilG, inserzione di Pu, legatura di incisione (SSB), riparazione della rottura del doppio filamento (DSB)

Excisione del danno: excisione di base (BER), di nucleotide (NER), accoppiata a trascrizione (TC-NER), da accoppiamento errato (MMR)

**Tolleranza del danno**: sintesi translesione (TLS)

Friedberg E et al DNA repair and mutagenesis, ASM Press 2006

# RISPOSTA AL DANNO DEL DNA



Friedberg, Nature 2003; 421:436

## MALATTIE DA DIFETTO DI RIPARAZIONE

TABELLA 9.IX. — Malattie dell'uomo associate a difetti di riparazione del DNA. (Modificata da Kornberg,

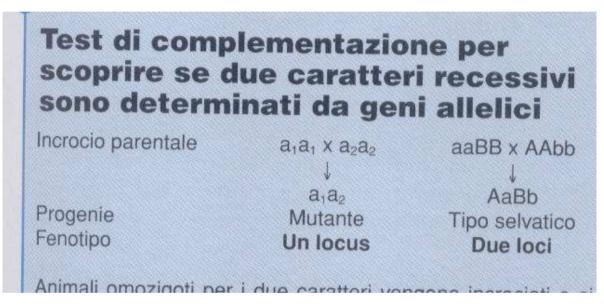
1980, p. 622). (Malattie AR)

Malattia	Sensibilità	Suscettibilità ad ulteriori malattie	Sintomi	Grupp Compl
Xeroderma pigmentosum <b>XP</b>	Radiazioni UV, agenti alchilanti	Carcinoma della pelle e melanomi	Ipersensibilità alla lu- ce, lesioni cutanee	9*
Atassiatelangectasia AT	Radiazioni gamma	Linfoma	Atassia cerebellare te- langectasia, aberra- zioni cromosomiche	6
Anemia di Fanconi <b>FA</b>	Agenti che formano le- gami tra filamenti di DNA	Leucemia	Pancitopenia ipoplasti- ca, anomalie conge- nite	13
Sindrome di Bloom  BS	Radiazioni UV	Leucemia	Ipersensibilità alla lu- ce, facies caratte- ristica	1-2

\*XP: es. gruppo D (DNA elicasi), E (DNA BP), ...

Curtoni et al, Manuale di Genetica, UTET 1991

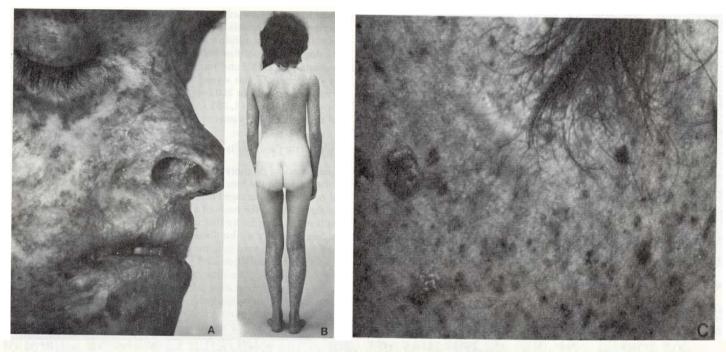
# Test di complementazione



Strachan e Read, Genetica umana molecolare, UTET 2001, p.61

Test per deficit riparazione del DNA: cellule di un paziente sono trasformate con DNA umano normale o estratto da pazienti con altro gene malattia che ripristina fenotipo N

# XERODERMA PIGMENTOSUM (XP)



Individuals with xeroderma pigmentosum show severe skin disorders in regions normally exposed to actinic radiation (B). The most prominent of these disorders are extreme dryness (xerosis) and areas of alternating hyper- and hypopigmentation (A, C). The large lesion shown on the left in C is a basal cell carcinoma of the skin. (Courtesy of Dr. K. H. Kraemer.)

# Difetto di riparazione in cellule XP

c.normali irradiate c.XP irradiate

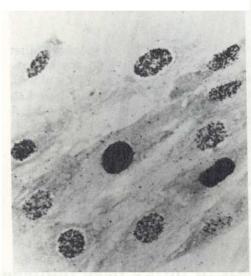


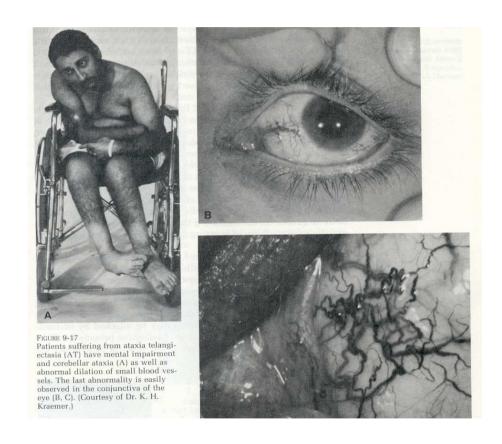


Figure 9-3
Normal human fibroblasts (A) in culture show autoradiographic grains in S phase cells and in all cells not in the S phase of the cell cycle. The latter reflects repair synthesis or so-called unscheduled DNA synthesis (UDS) (see Section 5-2) of DNA following exposure to ultraviolet radiation. The cells that are intensely labeled are cells in the S phase of the cycle and are carrying out semiconservative DNA synthesis. Fibroblasts from patients with xeroderma pigmentosum (B) show no detectable UDS in non-S-phase cells, although labeling of S-phase cells is normal. (Courtesy of Dr. J. E. Cleaver.)

Test
UDS: in
XP non
c'è
sintesi di
DNA in
cellule
non in
fase S

Difetto NER e sintesi translesione

# ATASSIA TELEANGIECTASIA (AT)



Friedberg, DNA repair, Freeman 1985

# Riparazione in Atassia Teleangiectasia

#### Test crescita cellulare

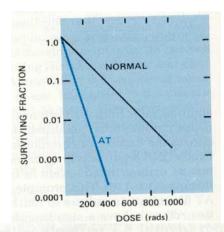


Figure 9-18
Fibroblasts from patients with ataxia telangiectasia (AT) are distinctly more sensitive to killing by X-rays than are cells from normal individuals. (After A. M. R. Taylor et al., ref. 117.)

#### Test incorporazione H<sup>3</sup>T

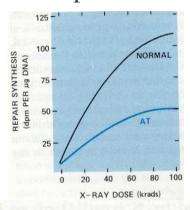


FIGURE 9-19
Cells from some ataxia telangiectasia (AT) patients show a decreased rate and extent of repair synthesis after exposure to ionizing radiation. Repair synthesis was measured by the incorporation of [³H]thymidine under conditions in which semiconservative DNA synthesis was inhibited. (After M. C. Paterson et al., ref. 129.)

Gene ATM (AT Mutated): sensore del danno al DNA. Difetto di risposta alle rotture del DNA

Friedberg E, DNA Repair, Freeman 1985

## ANEMIA DI FANCONI





Figuro 10.2. Una bambina di 7 anni affeita da anemia di Fanconi. Notare la bassa statura, la pelle scura, l'assenza del pollice sinistro. L'albero familiare dimostra una tipica ereditarietà autosomica recessiva. (Da Smith DW: Fanconi pancytopenia syndrome. J Pediatr 70: 479, 1967.)



Figura 10.3. Analisi cromosomica di un paziente con anemia di Fanconi. Il gran numero di rotture cromosomiche risulta evidente in questa metafase osservata dopo trattamento con diepossibutano. (Per gentile concessione del Dr. T. Glover.)

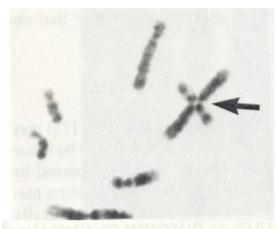
#### Difetto riparazione legami crociati

Gelehrter Collins, Manuale di Genetica Medica, Masson 1992

# SINDROME DI BLOOM (BS)



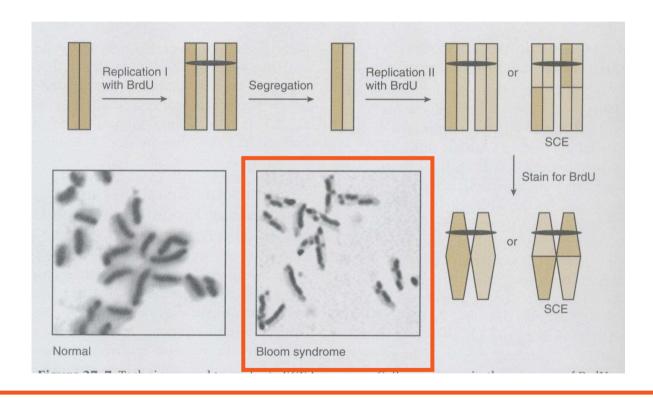
FIGURE 9-24
Patients with Bloom's syndrome typically have light-induced capillary dilatation of the skin of the face in a butterfly distribution. (Courtesy of Dr. James German.)



Cells from Bloom syndrome patients frequently show quadriradial chromosomes (indicated by the arrow), producing a typical cruciform appearance. (Courtesy of Dr. James German.)

Gene BLM: DNA elicasi. Instabilità genomica con aumento della frequenza degli scambi fra cromatidi fratelli o SCE ------

# Scambio di cromatidi fratelli (SCE) in BS



SCE "cromosomi arlecchino" 5-10x in BS

Friedberg E et al DNA repair and mutagenesis, ASM Press 2006

# Difetto di riparazione in HNPCC (tumore ereditario non poliposico del colon o S.Lynch)

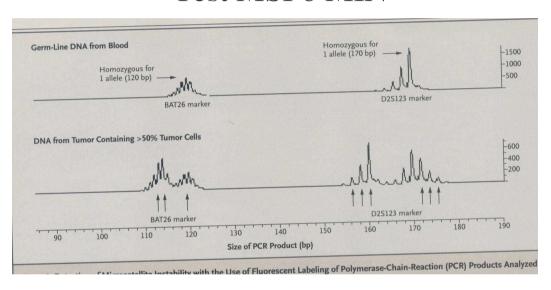
Gene	Numero OMIM	Posizione	Percentuale di HNPCC
MSH2	609309	2p22p21	60%
MLH1	609310	3p21.3	30%
MSH6	600678	2p16	5% (atipico)
MLH3	604395	14q24.3	Raro o assente
PMS1	600258	2q31q33	Raro o assente
PMS2	600259	7p22	Raro o assente

HNPCC: Difetto MMR (e BER)

Read e Donnai, Genetica Clinica, Zanichelli 2007

## INSTABILITA' dei MICROSATELLITI in HNPCC

#### Test MSI o MIN



Per il marcatore **BAT26**, ripetizione di 1 n., il tumore ha 1 nuovo allele (doppie frecce) che ha perso circa 5 n. Per **D2S123**, ripetizione di 2 N, 2 nuovi alleli (triple frecce): uno con perdita di circa 10 n. a sin, uno con aggiunta di 2 n. a destra

Lynch HT e A de la Chapelle NEJM 2003

# Riparazione del DNA e durata della vita

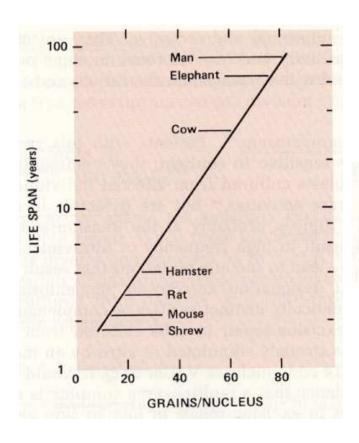


FIGURE 16-9
Correlation between amount of unscheduled (repair)
DNA synthesis in young fibroblasts and estimated life
span of the species. Synthesis was measured at
thirteen hours after exposure to ultraviolet irradiation
(20 Jm<sup>-2</sup>). [After Hart, R. W., and Setlow, R. B. (1974)
PNAS 71, 2169.]

# Sindromi progeroidi e riparazione



Fig. 5.40 Una donna americana di origine giapponese durante l'adolescenza e all'età di 48 anni. Anche altri dei suoi otto fratelli erano affetti dalla sindrome di Werner [1613]. DNA elicasi

La durata della vita è diminuita nelle sindromi progeroidi con invecchiamento precoce e insorgenza prematura di malattie solitamente associate con individui molto più anziani. Malattie con difetto di riparazione del DNA. <u>S.Werner</u>:osteoporosi, aterosclerosi, diabete, capelli bianchi. <u>S.Cockayne</u>:cataratta. <u>TTD</u>:osteoporosi, cataratta, capelli fragili. <u>AT</u>:immunodeficenza, capelli grigi. Durata media della vita: <u>WS</u> 50 anni, <u>CS</u> 12 anni, <u>TTD</u> 10 anni, <u>AT</u> 20 anni.